

حذف ترکیبات رنگرا از فاصلاب صنایع نساجی با استفاده از سیستم فتوالکتروکاتالیستی شامل الکترود فولاد زنگ نزن و گرافیت

محمد قالبی زاده^۱، بیتا آیتی^۲

۱- دانشجوی کارشناسی ارشد مهندسی عمران و محیط زیست، دانشگاه تربیت مدرس، تهران

۲- دانشیار، دانشکده مهندسی عمران و محیط زیست، دانشگاه تربیت مدرس، تهران

(نویسنده مستول) ۰۲۱ ۸۲۸۸۳۳۲۸ ayati_bi@modares.ac.ir

(دریافت ۹۳/۷/۲۵ پذیرش ۹۳/۱۲/۱۷)

چکیده

در این پژوهش فرایند فتوالکتروکاتالیستی در دمای محیط، تحت نور خورشید، با کاتدی از جنس گرافیت و آندی از جنس فولاد زنگ نزن با پوشش نانو کامپوزیت ZnO/TiO_2 ، برای حذف رنگ فاصلاب سنتزی انجام شد و خصوصیات سطح پوشش دهی شده از طریق آزمایش SEM مشخص شد. نتایج نشان داد که شرایط بهینه پارامترهای مؤثر بر فرایند، شامل یک میلی آمپر بر ساعتی متر مریع جریان، pH برابر ۶/۵، عدم هواهدی، ۱۰۰ میلی گرم در لیتر غلظت اولیه رنگرا، ۳۰ سانتی متر مریع سطح الکترود، ۰/۰۱ مولار غلظت الکترولیت و زمان آزمایش ۳۶۰ دقیقه است. در این شرایط، کارایی سیستم در حذف رنگرا و COD به ترتیب ۹۹ و ۹۷ درصد حاصل شد و میزان انرژی مصرفی به ازای هر ppm رنگرا حذف شده معادل $15\text{ KWh}/\text{ppm}$ بود. طبق نتایج بدست آمده، روش فتوالکتروکاتالیستی به دلیل تولید رادیکال‌های هیدروکسیل، سوپراکسید و غیره، روشی قدرتمند در حذف ترکیبات آلی به ویژه فاصلاب حاوی رنگرا و آلاینده‌های مقاوم به شمار می‌آید و همچنین می‌تواند به منظور کاهش هزینه‌های اجرایی به عنوان پیش‌تصفیه مورد استفاده قرار گیرد.

واژه‌های کلیدی: فاصلاب صنایع نساجی، فتوالکتروکاتالیست، نانو کامپوزیت ZnO/TiO_2 سطح الکترود، غلظت الکترولیت، مصرف انرژی

۱- مقدمه

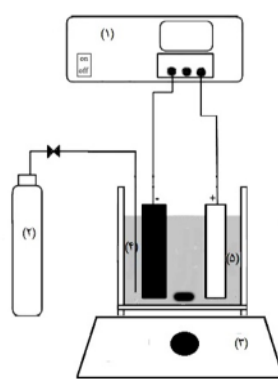
آخرأً به صورت گستره‌ای از TiO_2 به صورت تثبیت شده به منظور تصفیه آلاینده‌های آلی و ترکیبات رنگرا در آب استفاده شده است [۱۳]. مواد گوناگون بسیاری به عنوان پایه برای تثبیت نانوذرات TiO_2 نظری فیرهای شیشه‌ای، سیلیکا، کربن فعال، آلومنیوم، گرانول‌های پرلیت و فولاد زنگ نزن مورد استفاده قرار گرفته‌اند.

به دلیل شکاف باندی TiO_2 . تنها حدود ۳ تا ۵ درصد انرژی خورشید برای تحريك TiO_2 قابل استفاده است و به همین دلیل کاربرد این ماده برای تصفیه فاصلاب غیر کاربردی است [۱۴]. روش‌های مختلفی برای بهبود راندمان فتوکاتالیستی TiO_2 به منظور کاهش شکاف باندی و امکان استفاده از گستره وسیعی از نور خورشید به کار رفته است. یکی از این روش‌ها دوپنت کردن TiO_2 با فلزات واسطه مانند Zn با شاعع یونی بزرگ‌تر از یون Ti^{+} به شکل خوش‌های ZnO بر روی سطح کریستال‌های نانو TiO_2 و تشکیل یک سیستم جفت شده نیمه رسانا است که موجب تنگ‌تر شدن شکاف باندی TiO_2 و جذب نور در ناحیه موئی می‌شود [۱۵ و ۱۶].

صنعت نساجی یکی از صنایع تولید کننده فاصلاب حاوی مواد و ترکیبات رنگرا با حجم بالا است. نزدیک به ۷۰ درصد رنگزهای مصرفی در صنایع نساجی را رنگزهای آزو تشکیل می‌دهند [۱]. رنگزهای آزو به دلیل خصوصیات ویژه از قبیل ساختار شیمیایی متنوع، مقاومت در برابر نور، مقاومت در برابر تجزیه بیولوژیکی، دامنه pH متغیر و از همه مهم‌تر سرطان‌زا و جهش‌زا بودن، جزو ترکیبات بسیار خطرناک برای سلامت و محیط زیست به شمار می‌روند که باید اقدامات کافی در کنترل، حذف و تخلیه آنها به محیط صورت پذیرد [۲، ۳ و ۴].

تاکنون روش‌های گوناگونی به منظور حذف رنگزهای مورد استفاده قرار گرفته که از این میان می‌توان به روش‌های انقاد، جذب، فیلتراسیون غشایی، اکسیداسیون پیشرفت، فنتون، فتوالکترووفتون و فتوالکتروشیمیایی اشاره کرد که در این میان، روش‌های اکسیداسیون پیشرفت به دلیل راندمان حذف و سرعت عملکرد بالا جزو روش‌های بسیار مناسب برای تصفیه این گونه فاصلاب‌ها به شمار می‌روند [۵-۱۲].

مکعب مستطیل با ابعاد $15 \times 6 \times 7$ سانتی‌متر و حجم مفید ۵۰۰ میلی‌لیتر شامل دو الکترود مستطیلی آند از جنس فولاد زنگ نزن ۴^۱ با پوشش نانوکامپوزیت ZnO/TiO_2 و کاتد از جنس گرافیت به فاصله ۳ سانتی‌متر از یکدیگر بود که مطابق شکل ۱ به دستگاه منبع تغذیه متصل شد. به منظور اختلاط و همگن کردن نمونه، یک همزن مغناطیسی نیز به کار برده شد. هوادهی در الکترود کاتد توسط پمپ آکواریومی با سنگ هوای انجام گرفت و توان تابشی نور خورشید توسط دستگاه سولار متر اندازه‌گیری و به منظور ایجاد پوشش‌دهی از کوره الکتریکی استفاده شد.



۱- منبع تغذیه ۲- پمپ هواده ۳- همزن مغناطیسی
۴- گرافیت ۵- فولاد زنگ نزن با پوشش نانوکامپوزیت ZnO/TiO_2

شکل ۱- شماتیک سیستم مورد استفاده در پژوهش

میزان حذف رنگرا اسید نارنجی ۷ ($C_{16}H_{11}N_2NaO_4S$) با استفاده از دستگاه اسپکتروفوتومتر در طول موج حداکثری جذب آن برابر ۴۸۵ نانومتر قرائت شد و از نمودار کالیبراسیون، غلظت‌های رنگرا بدست آمد. کلیه آزمایش‌ها در دمای محیط با حداقل سه تکرار و بر اساس روش‌های آنالیز آب و فاضلاب انجام گرفت [۲۱]. در این پژوهش پارامترهای مختلفی شامل شدت جریان

یکی دیگر از مشکلات اصلی TiO_2 بازده پایین کواتسوم نوری آن ناشی از بازترکیب الکترون و حفره به دلیل طول عمر کم آن‌ها در صورت نبود الکترون دهنده و گیرنده است [۱۷]. اخیراً استفاده از روش‌های الکتروشیمیایی فتوکاتالیستی به ویژه روش‌های فتوکاتالیستی در تصفیه فاضلاب‌های حاوی ترکیبات آلی توجه پژوهشگران را به خود جلب کرده است. در این سیستم‌ها با بهره‌گیری از اختلاف پتانسیل ایجاد شده بین آند و کاتد، طول عمر جفت الکترون-حفره تشکیل شده ناشی از تحریک ماده فتوکاتالیستی افزایش یافته، امکان باز ترکیب شدن آنها به حداقل ممکن می‌رسد و در نهایت موجب افزایش تولید رادیکال‌های هیدروکسیل می‌شود. نحوه عملکرد این سیستم‌ها به گونه‌ای است که پس از تولید جفت الکترون-حفره، الکترون از طریق مدار خارجی حرکت کرده و بنابراین حفره تولید شده در سطح الکترود تنها مانده و با ترکیبات موجود در محلول واکنش می‌دهد به این صورت تولید رادیکال‌های هیدروکسیل، سوپر اکسید و سایر اکسیدهای تولیدی افزایش یافته و منجر به بهبود راندمان سیستم می‌شود [۱۸]. در ادامه به برخی از پژوهش‌های صورت گرفته با استفاده از روش فتوکاتالیستی اشاره می‌شود

زین و همکاران در سال ۲۰۱۴ با استفاده از فتوالکترودهای WO_3/TiO_2 موفق به حذف ۹۸ درصدی^۱-نونیل فنل^۲ از آب پس از ۱۲۰ دقیقه آزمایش با استفاده از نور خورشید شدند [۱۹]. وانگ و همکاران در سال ۲۰۱۴ به بررسی اکسیداسیون آمونیاک با استفاده از الکترود UVc $Ti-TiO_2$ تحت $TAN^{۳}$ درصدی ۹۹ حذف رنگرا، pH پرداختند و به راندمان

۱۲۰ دقیقه رسیدند [۲۰].

با توجه به پژوهش‌های انجام شده، هدف از انجام این پژوهش بررسی حذف رنگرا توسط سیستم فتوکاتالیستی با استفاده از الکترودهای فولاد زنگ نزن با پوشش نانوکامپوزیت ZnO/TiO_2 و گرافیت زیر نور خورشید به منظور کاهش هزینه‌های مصرفی، کاربردی شدن و همچنین بررسی تأثیر پارامترهای مؤثر شامل شدت جریان، نرخ هواده، pH اولیه، سطح الکترود، غاظت الکتروولیت بر راندمان حذف رنگرا، COD و در نهایت بهینه‌سازی میزان مصرف انرژی بود.

۲- مواد و روش‌ها

۱- روش کار

سیستم مورد استفاده در پژوهش از جنس پلکسی‌گلاس^۳ به صورت

¹ 4-nonyl Phenol

² Total Ammonia Nitrogen

³ Plaxiglass

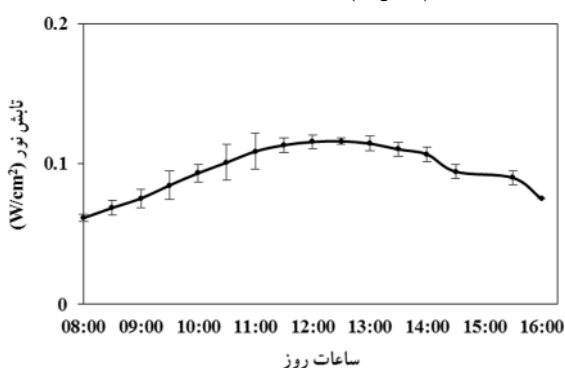
۳-۲- مواد و تجهیزات

برای تهیه نانوکامپوزیت، نانوذرات TiO_2 p25 (US nano) با ابعاد متوسط ۲۰ نانومتر و مساحت سطح ۱۰ تا ۴۵ مترمربع در گرم از شرکت پیشگامان نانو مواد ایرانیان خریداری شد. به منظور ساخت نانو کامپوزیت از سولفات روی و آمونیاک و برای تهیه محلول سل-ژل از استون، اسید نیتریک و اتانول استفاده شد و بر قراری جریان در سلول توسط Na_2SO_4 از شرکت مرک^۱ صورت گرفت. از سولفات جبو، دیکرومات پتاسیم، دیکرومات نقره و اسید سولفوریک محصول شرکت مرک نیز به منظور آنالیز COD و از آب مقطر دو بار تقطیر برای رقیق سازی استفاده شد.

تجهیزات مورد استفاده در این پژوهش شامل دستگاه اسپکتروفتومتر هج^۲ مدل 4000 DR، ترازوی دیجیتالی متلر^۳ مدل PJ300 با دقیقه ۰/۰۰۱ متر^۴، منبع تغذیه مگاتک^۵ مدل PM-3005D، همزن مغناطیسی IKA مدل 2 pH-RH-Basic، کوره الکتریکی-DEM تراهم^۶ مدل ۶۹۱، سولارمتر TES 1333، کوره الکتریکی-ERD مدل ۶۹، میکروسکوپ الکترونی مدل Mira3 Tescan و راکتور COD مدل DRB200 محصول هج بود.

۴-۲- شرایط آب و هوایی محیط آزمایش

در این پژوهش راکتور در مختصات جغرافیایی دریا استقرار یافت. به منظور کاهش تأثیر تابش بر فرایند و برخورداری از شدت تابش تقریباً یکسان، تمامی آزمایش‌ها در نیمه دوم خرداد ماه سال ۱۳۹۳ در ساعت مشخص بین ۸ صبح تا ۱۶ بعداز ظهر انجام و اطلاعات تابشی در طول ساعت آزمایش توسط سولارمتر ثبت شد (شکل ۲).



شکل ۲- تغییرات تابش نور خورشید در ساعت مختلف آزمایش

¹ Merck
² Hach
³ Mettler
⁴ Megatek
⁵ Metrohm

۰/۳ و ۱/۲ آمپر، هوا دهی با نرخهای صفر، ۵/۳ و ۷ لیتر در دقیقه، pH اولیه برابر ۲، ۳، ۴، ۵، ۶، ۹، سطح الکترود ۳۰، ۳۰، ۶۰ و ۹۰ سانتی متر مربع، انرژی مصرفی و COD مورد بررسی قرار گرفت.

۲-۲- آماده سازی الکترود فولاد زنگ نزن با پوشش ZnO/TiO_2 نانوکامپوزیت

برای تهیه نانوکامپوزیت از روش سنترالای-تبغیری با آمونیاک به شرح زیر استفاده شد [۲۲] افروden آمونیاک به نانوذرات TiO_2 و هم زدن تا رسیدن به pH برابر ۱۰/۵:

افروden سوپانسیون به محلول رقیق روی تا تشکیل لایه سفید کمپلکس آمونیوم روی با ۲ بار مثبت روی نانوکریستالهای TiO_2 و هم زدن به مدت ۲۴ ساعت. نسبت غلظت روی به دی اکسید تیتانیم ۵/۰ درصد بود که این غلظت موجب بهبود خواص فتوکاتالیزوری نانوکامپوزیت ZnO/TiO_2 از طریق مهار انتقال فاز آناتاز به روتایل می شود [۲۳]:

تبغیر محلول تا حد خشک شدن کمپلکس به منظور تبدیل به هیدروکسید روی:

قرار دادن نانوکامپوزیت در کوره به مدت ۴ ساعت در دمای ۴۵۰ درجه سلسیوس به منظور تجزیه حرارتی هیدروکسید روی به اکسید روی

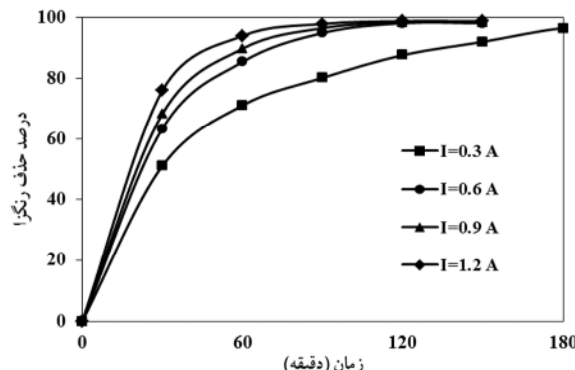
برای تثبیت نانوکامپوزیت ZnO/TiO_2 بر سطح الکترود فولاد زنگ نزن از روش زیر استفاده شد [۲۴]:

- شیستشوی فولاد زنگ نزن به ترتیب با مخلوط اسید داغ، آب مقطر جوشیده، استون و آب مقطر

- خشک کردن در دمای ۱۵۰ درجه سلسیوس به مدت ۶۰ دقیقه:

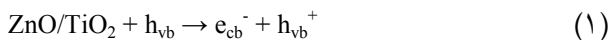
- اضافه کردن ۲۵ گرم نانوکامپوزیت به ۱۵۰ میلی لیتر اتانول و ۵۰ میلی لیتر اسید نیتریک با pH برابر ۳ برای تهیه دوغاب نانوکامپوزیت و قرار دادن دوغاب تهیه شده در حمام اولتراسونیک به مدت ۱۵ دقیقه:

- فرو بردن الکترودها به ترتیب و آرامی درون دوغاب ساخته شده، خشک کردن در دمای محیط و در نهایت کلسینه کردن در کوره با دمای ۳۵۰ درجه سلسیوس به مدت ۳۰ دقیقه. کلسینه کردن نانوذرات منجر به بلوری شدن و کربیستاله شدن ساختار نانوذرات نانوکامپوزیت و کاهش سطح انرژی لازم برای تهییج نانوذرات شود. دمای کلسیناسیون در پژوهش‌های مختلف از ۳۰۰ تا ۹۰۰ درجه سلسیوس گزارش شده است [۲۵].



شکل ۴- تأثیر شدت جریان بر راندمان حذف رنگرا
([رنگرا]، pH=۶/۵ Lit/min = ۱۰۰ mg/L)
([Na₂SO₄] = ۰/۰ ۱ M سطح الکترود، ۳۰ cm²)

رنگرا می‌شوند [۲۶، ۲۷ و ۲۸]. همانطور که مشاهده می‌شود، افزایش شدت جریان موجب افزایش تولید جفت الکترون-حفره طبق واکنش ۱ می‌شود و در نهایت منجر به تولید اکسیدان‌های بیشتری می‌شود [۲۸]



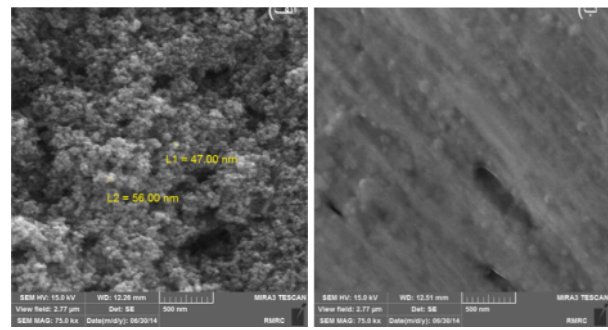
افزایش شدت جریان از ۰/۰ به ۰/۶ آمپر تأثیر بیشتری بر راندمان حذف رنگرا دارد ولی با افزایش بیشتر شدت جریان به ۱/۲ آمپر، واکنش‌های نامطلوب بیشتر شده و راندمان حذف رنگرا تغییر چندانی نمی‌کند. در پژوهش سکوراگارسیا و همکاران در سال ۲۰۱۳ با افزایش چگالی جریان از ۰/۲۵ میلی آمپر در سانتی مترمربع به ۱ و راندمان حذف رنگرا از ۱۰ به ۹۸ درصد افزایش یافت؛ ولی با افزایش بیشتر چگالی جریان از ۱ میلی آمپر در سانتی مترمربع به ۲، راندمان اندکی کاهش یافت و به ۹۰ درصد رسید [۲۹]. در پژوهش لی و همکاران در سال ۲۰۰۶ با افزایش شدت جریان راندمان حذف بهبود یافت [۲۸].

با توجه به نقش عده شدت جریان بر میزان انرژی مصرفی و اهمیت این پارامتر در پژوهش‌های الکتروشیمیایی، میزان انرژی مصرفی به ازای هر ppm رنگرای حذف شده بررسی شد. همانگونه که در شکل‌های ۴ و ۵ مشاهده می‌شود، افزایش شدت جریان علاوه بر کاهش زمان حذف رنگرا موجب افزایش انرژی مصرفی به ازای هر ppm رنگرای حذف شده می‌شود. با توجه به راندمان مطلوب ۹۸ درصدی در شدت جریان ۰/۶ آمپر پس از ۲۴۰ دقیقه آزمایش

همانگونه که ملاحظه می‌شود، تغییرات تابش نور خورشید در ساعت اندازه‌گیری ناچیز بود و تأثیر چندانی بر فرایند فتوالکتروکاتالیستی ایجاد نمی‌کرد.

۳- نتایج و بحث

۱- بررسی کیفیت پوشش دهی
شکل ۳ تصویر SEM از سطح الکترود فولاد زنگ نزن قبل و بعد از پوشش دهی با نانوکامپوزیت ZnO/TiO₂ با قدرت بزرگنمایی ۷۵۰۰ رانمایش می‌دهد.



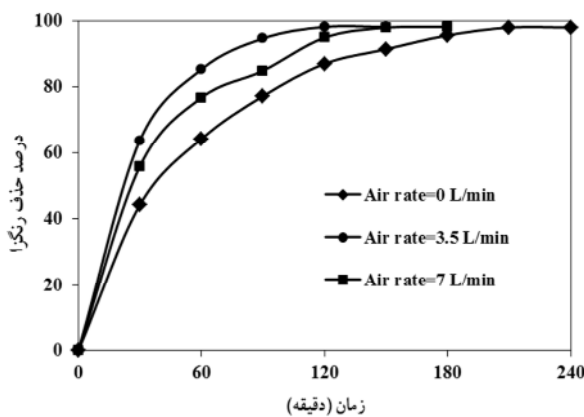
شکل ۳- تصویر SEM (الف) الکترود فولاد زنگ نزن با پوشش نانوکامپوزیت ZnO/TiO₂ (ب) سطح الکترود فولاد زنگ نزن

از نکات قابل توجه، پوشش دهی نسبتاً یکنواخت و عدم تشکیل توده نانوذرات است. همانگونه که مشاهده می‌شود با توجه به بزرگنمایی تصویر اکثر ذات نانوکامپوزیت دارای اندازه‌ای کوچک‌تر از ۱۰۰ نانومتر است.

۲- تأثیر شدت جریان
به منظور بررسی اثر شدت جریان بر راندمان حذف رنگرا، تحت شرایط ثابت، جریان‌های مختلف بر سیستم اعمال شد که نتایج آن در شکل ۴ آمده است.

همانطور که اشاره شد، استفاده از دوپنت Zn موجب افزایش میزان حفره‌های سطحی اکسیژن در مولکول TiO₂. کاهش شکاف باندی آن و افزایش طول موجب جذب نور به خصوص ناحیه مرئی می‌شود؛ به نحوی که در اثر تابش نور خورشید به سطح نانوکامپوزیت ZnO/TiO₂ الکترون‌ها با انرژی کمتری در TiO₂ برانگیخته شده و به سطح ZnO منتقل شده و در نهایت سطح کاتالیست منتقل می‌شوند. در همین زمان حفره ایجاد شده در نوار والانس به TiO₂ منتقل شده و به سطح فتوکاتالیست می‌رسد (واکنش ۱). سپس حفره باقیمانده در سطح طی واکنش‌های ۲ و ۳ منجر به تولید رادیکال هیدروکسیل و در نهایت حذف آلینده‌های آلی و ترکیبات

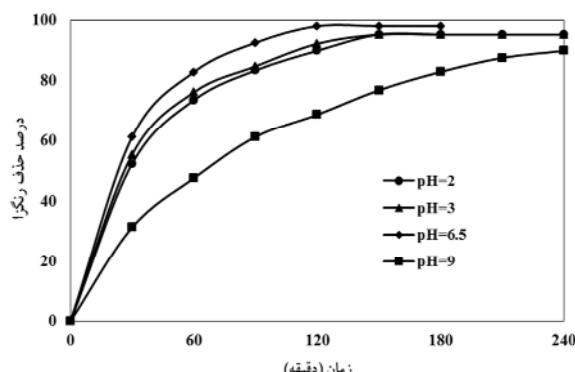
ظرفیت تولید رادیکال هیدروکسیل خود رسیده است [۳۰]. با توجه به مقدار به دست آمده و به منظور کاهش انرژی مصرفی ناشی از هوادهی، نرخ هوادهی صفر با راندمان نهایی ۹۸ درصد در مدت زمان ۲۱۰ دقیقه به عنوان راندمان بهینه انتخاب شد. در پژوهش ژائو و همکاران در سال ۲۰۰۷، افزایش نرخ هوادهی از ۲۰ به ۴۰ میلی لیتر در دقیقه موجب افزایش حذف دی کلروفتل از محلول آبی از ۷۵ به ۹۰ درصد شده است [۳۱].



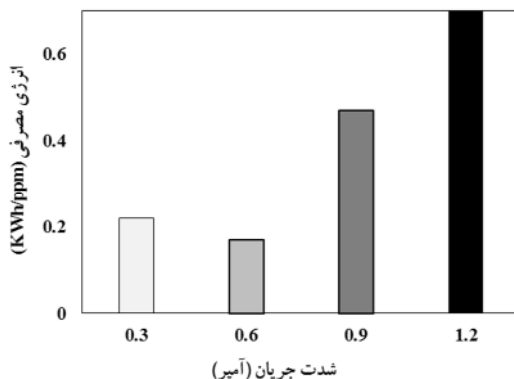
شکل ۶- تأثیر نرخ هوادهی بر راندمان حذف رنگرا
به منظور بررسی اثر هوادهی، راندمان حذف رنگرا در شرایط ثابت pH=۶/۵، I=۰/۶A، سطح الکترود = ۳۰ cm²، [Na₂SO₄]=۰/۰۱M، [رنگرا]=۱۰۰ mg/L

۴-۳- تأثیر pH اولیه

به منظور بررسی تأثیر pH اولیه بر راندمان حذف رنگرا، فرایند فتوالکتروکاتالیستی در شرایط ثابت و شدت جریان بهینه به دست آمده در pHهای مختلف مورد بررسی قرار گرفت که نتایج آن در شکل ۷ نشان داده شده است. همانطور که مشاهده می شود، راندمان حذف رنگرا در pHهای اسیدی و بازی نسبت به حالت خنثی کاهش می یابد. به طوری که راندمان حذف رنگرا پس از ۶۰ دقیقه آزمایش



شکل ۷- تأثیر pH اولیه بر راندمان حذف رنگرا
به منظور بررسی اثر pH اولیه بر راندمان حذف رنگرا در شرایط ثابت pH=۶/۵، I=۰/۶A، سطح الکترود = ۳۰ cm²، [Na₂SO₄]=۰/۰۱M، [رنگرا]=۱۰۰ mg/L

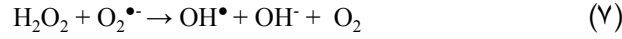


شکل ۵- تأثیر شدت جریان بر انرژی مصرفی به ازای هر ppm رنگزای حذف شده (=[رنگرا]=۱۰۰ mg/L)، pH=۶/۵ Lit/min، سطح الکترود = ۳۰ cm²، [Na₂SO₄]=۰/۰۱M

در اثر استفاده از پوشش نانوکامپوزیت ZnO/TiO₂، این نرخ به دلیل مصرف کمترین میزان انرژی (۰/۱۷ KWh/mg/L) به عنوان نرخ بهینه انتخاب شد.

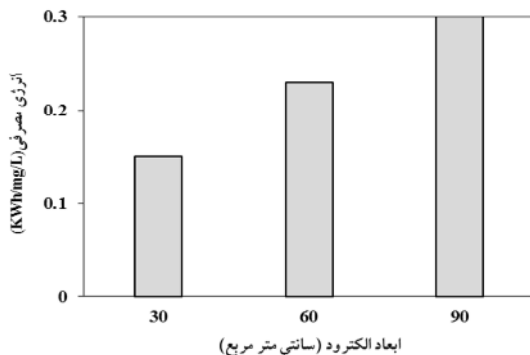
۳-۳- تأثیر نرخ هوادهی

به منظور بررسی اثر هوادهی، راندمان حذف رنگرا در شرایط ثابت در نرخ هوادهی صفر، ۰/۳ و ۰/۷ لیتر بر دقیقه مورد بررسی قرار گرفت که نتایج آن در شکل ۶ آمده است. همانطور که مشاهده می شود، افزایش نرخ هوادهی در سطح الکترود گرافیت، موجب افزایش انحلال گاز اکسیژن در محلول و تولید پراکسید هیدروژن و رادیکال سوپر اکسید می شود و این امر حذف آلاینده از طریق واکنش های ضعیفتر و همچنین واکنش های ۶ و ۷ را افزایش می دهد [۱۸]



افزایش هوادهی از صفر به ۰/۳ لیتر بر دقیقه موجب افزایش راندمان حذف از ۶۴ به ۸۵ درصد پس از ۶۰ دقیقه آزمایش می شود. هر چند با گذشت ۱۸۰ دقیقه از آزمایش راندمان حذف رنگرا در هر دو حالت به بالای ۹۵ درصد می رسد. با افزایش بیشتر نرخ هوادهی تفاوت چندانی در راندمان حذف رنگرا ایجاد نمی شود که نشان می دهد سیستم الکتروشیمیایی فتوکاتالیستی به حد اکثر

نور خورشید و در نهایت تولید بیشتر رادیکال هیدروکسیل است. به طوری که با افزایش سطح الکترود از 30 cm^2 به 90 cm^2 سانتی متر مربع راندمان حذف رنگرا از 95 ppm به 66 ppm درصد افزایش می‌یابد. این در شرایطی است که با افزایش مدت زمان به 120 دقیقه ، راندمان حذف رنگرا در هر سه حالت به بیش از 95 ppm درصد رسید. زین و همکاران در سال 2014 2 نیز با افزایش سطح الکترود پوشش داده شده با دی اکسید تیتانیم به نتایج مشابه رسیدند و با افزایش سطح الکترود از 1 cm^2 به 2 cm^2 سانتی متر مربع راندمان حذف از 95 ppm به 60 ppm درصد رسید و لی افزایش سطح الکترود از 2 cm^2 به 4 cm^2 سانتی متر مربع تغییر چندانی نشان نداد [۱۹]. با توجه به تأثیر سطح بر انرژی مصرفی در سیستم‌های الکتریکی، تأثیر سطح الکترود بر میزان انرژی مصرفی به ازای هر ppm رنگرا حذف شده مورد بررسی قرار گرفت که نتایج آن در شکل ۹ ارائه شده است.



شکل ۹- تأثیر ابعاد الکترود بر انرژی مصرفی به ازای هر ppm رنگرا حذف شده ($[\text{رنگ}] = 100\text{ mg/L}$, $\text{pH} = 6/5$, 1 A/cm^2 , $[\text{Na}_2\text{SO}_4] = 0/0.1\text{ M}$, عدم هوادهی)

با وجود افزایش راندمان حذف و کاهش زمان نهایی واکنش در اثر افزایش سطح الکترود، بدلیل تأثیر بیشتر اختلاف پتانسیل و ppm شدت جریان ایجاد شده بر میزان انرژی مصرفی به ازای هر ppm رنگرا حذف شده، انرژی مصرفی با افزایش سطح افزایش یافت. به همین دلیل و به منظور بهینه‌سازی انرژی مصرفی، الکترود با سطح 30 cm^2 سانتی متر مربع با کمترین مصرف انرژی (0.15 KWh/mg/L) به عنوان سطح بهینه انتخاب شد.

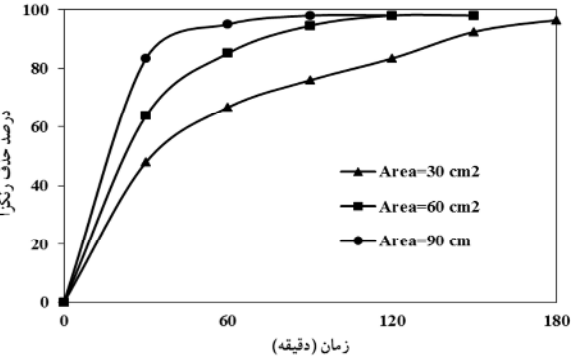
۳-۶- تأثیر غلظت الکترولیت

به منظور بررسی اثر غلظت الکترولیت بر راندمان حذف رنگرا، تأثیر غلظت الکترولیت در شرایط ثابت غلظت اولیه رنگرا، نرخ هوادهی، pH اولیه، شدت جریان، سطح الکترود و دما مورد بررسی قرار گرفت که نتایج آن در شکل ۱۰ ارائه شده است.

در H_2O های $9/6$, $2/78$, $7/75$ و $4/84$ به ترتیب در صد به دست آمد. بدلیل حضور گروه سولفونیک در ساختار رنگزای اسید نارنجی 7 . در H_2O های پایین بار سطح رنگرا منفی می‌شود و به TiO_2 با بار مثبت می‌چسبد و تا حدی موجب کاهش راندمان حذف رنگرا می‌شود. در pH خنثی آلاینده از طریق واکنش با رادیکال هیدروکسیل تولید شده از طریق واکنش 2 حذف می‌شود و در شرایط اسیدی واکنش غالب، واکنش جفت الکترون حفره ایجاد شده از واکنش 1 با آلاینده است. در شرایط بازی نیز رادیکال هیدروکسیل از طریق رابطه 3 ایجاد می‌شود [۲۸, ۲۹]. لین و همکاران در سال 2013 برای تصفیه میکروسیستین^۱، بهترین pH را معادل $3/5$ و زین و همکاران در سال 2014 برای تصفیه 4 -نونیل فنل^۲ بهترین pH را معادل 7 گزارش کردند. با توجه به نتایج به دست آمده، pH طبیعی رنگرا برابر $6/5$ با راندمان 98 درصدی پس از $120\text{ دقیقه آزمایش به عنوان pH}$ بهینه انتخاب شد [۳۲, ۳۳, ۱۹].

۵-۳- تأثیر سطح الکترود

نتایج تأثیر ابعاد الکترود بر فرایند فتوالکتروکاتالیستی تحت شرایط ثابت و برای الکترودهایی با سطح 30 , 60 و 90 cm^2 سانتی متر مربع در شکل ۸ ارائه شده است.



شکل ۸- تأثیر سطح الکترود بر راندمان حذف رنگرا ($[\text{رنگ}] = 100\text{ mg/L}$, $\text{pH} = 6/5$, 1 A/cm^2 , $[\text{Na}_2\text{SO}_4] = 0/0.1\text{ M}$, عدم هوادهی)

همانطور که مشاهده می‌شود، افزایش سطح الکترود موجب افزایش راندمان حذف رنگرا می‌شود که ناشی از افزایش جفت الکترون- حفره ایجاد شده در سطح الکترود در اثر افزایش سطح دی اکسید تیتانیم ثبیت شده بر روی الکترود فولاد زنگ نزن به

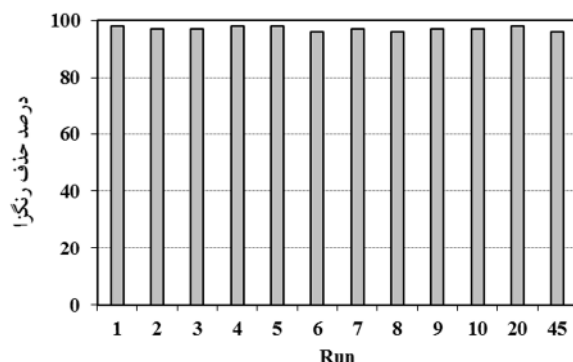
¹ Microsystin-LR

² 4-nonylphenol

افزایش غلظت الکتروولیت موجب افزایش نرخ راندمان حذف پنتاکلروفنل^۱ از ۶ به ۳ میلی‌گرم در لیتر شد. با توجه به نتایج راندمان ۹۸ درصدی سیستم با غلظت ۱٪ مولار و به منظور کاهش میزان مصرفی الکتروولیت، این غلظت به عنوان حالت بهینه انتخاب شد [۳۶].

۷-۳- بررسی پایداری پوشش نانوکامپوزیت ZnO/TiO_2 بر الکترود فولاد زنگ نزن

به منظور بررسی پایداری پوشش نانوکامپوزیت ZnO/TiO_2 روی الکترود فولاد زنگ نزن، راندمان حذف رنگزا در شرایط بهینه به دست آمده تکرار شد که نتایج آن در شکل ۱۱ ارائه شده است. همانطور که مشاهده می‌شود پس از ۴۵ بار تکرار، تغییر چندانی در راندمان حذف رنگزا ایجاد نشد که این امر حاکی از ثبیت مناسب نانوکامپوزیت ZnO/TiO_2 بر سطح الکترود فولاد زنگ نزن است.



شکل ۱۱- بررسی پایداری ثبیت نانوکامپوزیت ZnO/TiO_2 بر الکترود فولاد زنگ نزن ($[ZnO/TiO_2] = 100 \text{ mg/L}$, $\text{pH} = 6/5$, $I = 0/3 \text{ A}$, $\text{Na}_2\text{SO}_4 = 0/01 \text{ M}$, سطح الکترود 30 cm^2 , عدم هوادهی، $t = 30 \text{ min}$)

۸-۳- بررسی تغییرات COD

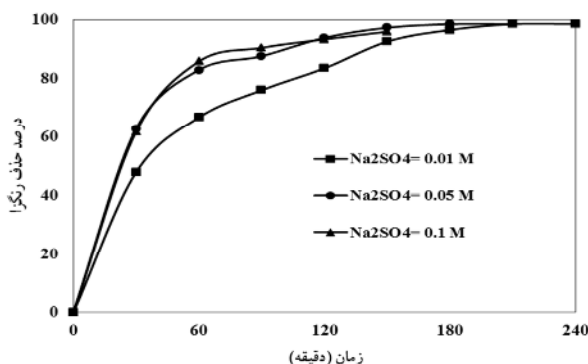
در نهایت تغییرات COD رنگزا در شرایط بهینه به دست آمده سیستم مورد بررسی قرار گرفت که نتایج آن در شکل ۱۲ نشان داده شده است. همانطور که مشاهده می‌شود، پس از انجام واکنش فتوالکتروکاتالیستی به مدت ۳۶۰ دقیقه، راندمان حذف COD در ۹۷ درصد ثابت شد و تغییرات چندانی نداشت که این امر نشان دهنده شکسته شدن پیوندهای رنگزا و تولید ترکیبات با بار آلی پایین تر است، زیرا اکسنده‌های قوی شامل رادیکال سوپراکسید و رادیکال هیدروکسیل و حفره تولید شده در اثر واکنش با ترکیبات آلی سخت تجزیه‌پذیر و پیچیده، آنها را به ترکیبات ساده و یا معدنی تبدیل می‌کنند.

^۱ Pentachlorophenol

افزایش غلظت الکتروولیت موجب افزایش قابلیت الکتریکی محلول، انتقال سریع تر حفره ایجاد شده و کاهش نرخ ترکیب دوباره جفت الکترون-حفره می‌شود. همچنین در صورت اکسید شدن $\text{S}_2\text{O}_8^{2-}$ به SO_4^{2-} در نزدیکی آند، واکنش‌های ۸ و ۹ منجر به تجزیه بیشتر رنگزا در اثر تولید رادیکال سولفات و هیدروکسیل می‌شوند. هرچند افزایش غلظت الکتروولیت موجب افزایش نرخ واکنش‌های ۱۰ و ۱۱ نیز می‌شود که سبب تبدیل رادیکال هیدروکسیل به رادیکال سولفات می‌شود.



رادیکال سولفات از قدرت اکسیدگی کمتری نسبت به رادیکال هیدروکسیل و حفره تولیدی بخوردارند و این امر می‌تواند تا حدودی موجب کاهش راندمان حذف رنگزا شود [۳۴ و ۳۵]. همانطور که ملاحظه می‌شود، افزایش غلظت الکتروولیت از ۰/۰۵ مولار موجب افزایش حذف رنگزا از ۸۲ به ۹۶ درصد شد ولی با افزایش بیشتر غلظت الکتروولیت، راندمان حذف رنگزا تغییر چندانی نداشت.



شکل ۱۰- بررسی تأثیر غلظت الکتروولیت بر حذف رنگزا در سیستم فتوشیمیایی فتوکاتالیستی ($[Rh] = 100 \text{ mg/L}$, $\text{pH} = 6/5$, $I = 0/3 \text{ A}$, $\text{Na}_2\text{SO}_4 = 0/01 \text{ M}$, سطح الکترود 30 cm^2 , نرخ هوادهی $t = 30 \text{ min}$)

در پژوهش ژانگ و همکاران، افزایش غلظت الکتروولیت از ۰/۵ به ۰/۱ میلی‌زیمنس بر سانتی‌متر مربع تغییر چندانی در نرخ حذف رنگزا ایجاد نکرد [۳۶]. در پژوهش کوآن و همکاران،

همانطور که ملاحظه می‌شود، رنگزای اسید نارنجی ۷ دارای سه طول موج قابل توجه شامل طول موج حداکثری ۴۸۵ نانومتر، شولدر^۱ برابر ۴۳۰ نانومتر و حلقه نفتالینی برابر ۳۱۰ نانومتر است. که با گذشت زمان، میزان جذب در هر سه نمودار کاهش یافته است. این امر نشان دهنده شکسته شدن سه ساختار مذکور توسط سیستم فتوالکتروکاتالیستی در اثر تولید رادیکال‌های هیدروکسیل و سوپر اکسید است [۳۷].

۴- نتیجه گیری

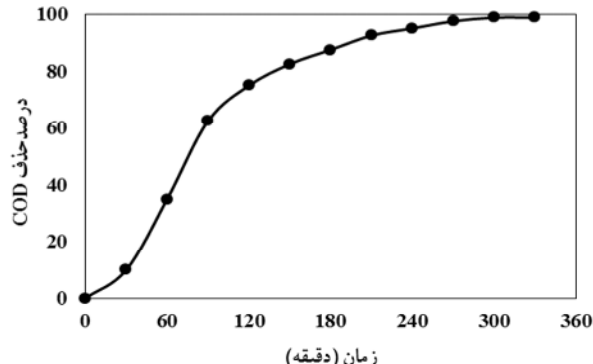
استفاده از روش‌های فتوالکتروکاتالیستی با بهره‌گیری از مکانیسم فتوکاتالیستی و الکتریکی جزو روش‌های نوین و مؤثر در حذف آلاینده‌های آلی به شمار می‌آیند. در این روش‌ها بهره‌گیری از مواد با خاصیت الکتریکی مناسب می‌تواند موجب افزایش راندمان سیستم فتوکاتالیستی از طریق عدم ترکیب دوباره جفت الکترون - حفره تشکیل شده، شود. با توجه به نتایج به دست آمده، پس از گذشت ۳۶۰ دقیقه آزمایش، راندمان حذف رنگزا و COD تحت شرایط بهینه شدت جریان ۰/۳ آمپر، pH=۶/۵، $[{\text{ZnO}}/{\text{TiO}}_2]=۰/۳$ A، $\text{I}=۱۰۰ \text{ mg/L}$ در سطح الکترود، $[\text{Na}_2\text{SO}_4]=۰/۰۱ \text{ M}$ در نهادهی 30 cm^2

بهترین صفر، سطح الکترود ۳۰ سانتی‌متر مربع و با مصرف انرژی ۰/۱۵ کیلووات ساعت به ازای هر ppm رنگزای حذف شده به ترتیب به ۹۹ و ۹۷ درصد رسید که نشان می‌دهد روش فتوالکتروکاتالیستی روشی مناسب برای حذف رنگزای اسید نارنجی و ترکیبات آلی مقاوم به تجزیه بیولوژیکی است و می‌تواند به عنوان پیش تصفیه ترکیبات سمی و سخت تجزیه‌پذیر قرار گیرد.

۵- قدردانی

به این وسیله از ستاد فناوری نانو برای حمایت مالی از این پژوهش سپاسگزاری می‌شود.

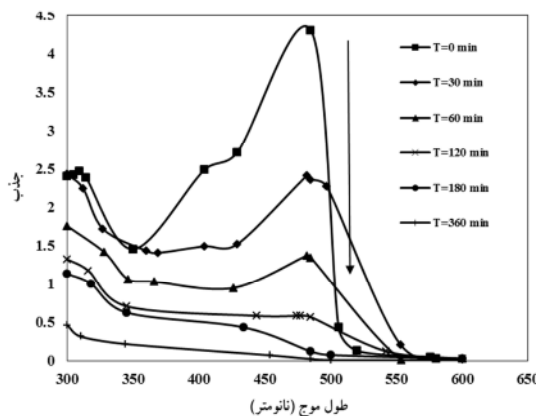
^۱ Shoulder



شکل ۱۲- بررسی سیستم الکتروشیمیایی فتوکاتالیستی با پوشش نانوکامپوزیت ZnO/TiO_2 بر COD برابر 100 mg/L در $\text{pH}=6/5$ ، $\text{I}=0/3 \text{ A}$ ، عدم هوادهی $([\text{Na}_2\text{SO}_4]=0/0.1 \text{ M})$ سطح الکترود، 30 cm^2

۶- بررسی تغییرات نمودار UV-vis

در نهایت به منظور بررسی تأثیر سیستم فتوالکتروکاتالیستی بر ساختار ترکیبات تشکیل دهنده رنگرا، تغییرات نمودار UV-vis در زمان‌های مختلف بررسی شد (شکل ۱۳).



شکل ۱۳- بررسی تغییرات UV-Vis

۷- مراجع

- Martínez-Huitle, C. A., and Brillas, E. (2009). "Decontamination of wastewaters containing synthetic organic dyes by electrochemical methods: A general review." *Applied Catalysis B: Environmental*, 87(3), 105-145.
- Pekakis, P. A., Xekoukoulakis, N. P., and Mantzavinos, D. (2006). "Treatment of textile dye house wastewater by TiO₂ photocatalysis." *Water Research*, 40(6), 1276-1286.
- De Souza, S. M. D. A. G. U., Bonilla, K. A. S., and De Souza, A. A. U. (2010). "Removal of COD and color from hydrolyzed textile azo dye by combined ozonation and biological treatment." *Journal of Hazardous Materials*, 179(1), 35-42.

4. Hamzeh, Y., Izadyar, S., Azadeh, E., Abyaz, A., and Asadollahi, Y. (2010). "Application of canola stalks waste as adsorbent of Acid Orange 7 from aqueous solution." *Journal of Health and Environment*, 4(1), 49-56.
5. Szyguła, A., Guibal, E., Ruiz, M., and Sastre, A. M. (2008). "The removal of sulphonated azo-dyes by coagulation with chitosan." *Colloids and Surfaces A: Physicochemical and Engineering Aspects*, 330(2), 219-226.
6. Davila Jimenez, M. M., Elizalde Gonzalez, M. P., and Pelaez Cid, A. A. (2005). "Adsorption interaction between natural adsorbents and textile dyes in aqueous solution." *Colloids and Surfaces A: Physicochemical and Engineering Aspects*, 254(1), 107-114.
7. Wu, J. S., Liu, C. H., Chu, K. H., and Suen, S. Y. (2008). "Removal of cationic dye methyl violet 2B from water by cation exchange membranes." *Journal of Membrane Science*, 309(1), 239-245.
8. Zarrabi, M., Rahmani, A. R., Samarghandi, M. R., and Barjasteh Askary, F. (2013). "Investigation the zero-Valent Iron (ZVI) performance in the presence of UV light and hydrogen peroxide on removal of azo dyes Acid Orange 7 and Reactive Black 5 from aquatic solutions." *Journal of Health and Environment*, 5(4), 469-478.
9. Ertugay, N., and Acar, F. N. (2013). "Removal of COD and color from Direct Blue 71 azo dye wastewater by Fenton's oxidation: Kinetic study." *Arabian Journal of Chemistry*, 6, 136-142.
10. Lin, H., Zhang, H., Wang, X., Wang, L., and Wu, J. (2014). "Electro-Fenton removal of Orange II in a divided cell: Reaction mechanism, degradation pathway and toxicity evolution." *Separation and Purification Technology*, 122, 533-540.
11. Peng, Y.P., Yassitepe, E., Yeh, Y.T., Ruzybayev, I., Ismat Shah, S., and Huang, C. P. (2012). "Photoelectrochemical degradation of azo dye over pulsed laser deposited nitrogen-doped TiO₂ thin film." *Applied Catalysis B: Environmental*, 125, 465-472.
12. Hou, Y., Qu, J., Zhao, X., Lei, P., Wan, D., and Huang, C. P. (2009). "Electro-photocatalytic degradation of acid orange II using a novel TiO₂/ACF photoanode." *The Science of the Total Environment*, 407(7), 2431.
13. Uzunova, M., Kostadinov, M., Georgieva, J., Dushkin, C., Todorovsky, D., Philippidis, N., and Sotiropoulos, S. (2007). "Photoelectrochemical characterisation and photocatalytic activity of composite La₂O₃-TiO₂ coatings on stainless steel." *Applied Catalysis B: Environmental*, 73(1-2), 23-33.
14. Minaii Zangi, Z. (2013). "Photocatalytic degradation of Direct Blue 71 using TiO₂ doped with Zn attached to the concrete surface." MSc Thesis, Tarbiat Modares University, Iran. (In Persian)
15. Rehman, S., Ullah, R., Butt, A.M., and Gohar, N.D. (2009). "Strategies of making TiO₂ and ZnO visible light active." *Journal of Hazardous Materials*, 170, 560-569.
16. Pelaez, M., Nolan, N. T., Pillai, S. C., Seery, M. K., Falaras, P., Kontos, A. G., and Dionysiou, D. D. (2012). "A review on the visible light active titanium dioxide photocatalysts for environmental applications." *Applied Catalysis B: Environmental*, 125, 331-349.
17. Park, H., Park, Y., Kim, W., and Choi, W. (2013). "Surface modification of TiO₂ photocatalyst for environmental applications." *Journal of Photochemistry and Photobiology C: Photochemistry Reviews*, 15, 1-20.
18. Daghbir, R., Drogui, P., and Robert, D. (2012). "Photoelectrocatalytic technologies for environmental applications." *Journal of Photochemistry and Photobiology A: Chemistry*, 238, 41-52.
19. Xin, Y., Gao, M., Wang, Y., and Ma, D. (2014). "Photoelectrocatalytic degradation of 4-nonylphenol in water with WO₃/TiO₂ nanotube array photoelectrodes." *Chemical Engineering Journal*, 242, 162-169.
20. Wang, H., Zhang, X., Su, Y., Yu, H., Chen, S., Quan, X., and Yang, F. (2014). "Photoelectrocatalytic oxidation of aqueous ammonia using TiO₂ nanotube arrays." *Applied Surface Science*, 331, 851-857.

21. APHA, AWWA, WEF. (2012). *Standard methods for the examination of water and wastewater*, 22th Ed., USA.
22. Karunakaran, C., Abiramasundari, G., Gomathisankar, P., Manikandan, G., and Anandi, V. (2011). "Preparation and characterization of ZnO-TiO₂ nanocomposite for photocatalytic disinfection of bacteria and detoxification of cyanide under visible." *Materials Research Bulletin*, 46, 1586-1592.
23. Minaii Zangi, Z., Ganjidoust, H., and Ayati, B. (2014). "Photocatalytic degradation of dye using dopping Titanium Dioxide nanoparticles and its kinetic study." *Journal of Color Science and Technology*, 8, 203-211.
24. Souzanchi, S., Vahabzadeh, F., Fazel, S., and Hosseini, S. N. (2013). "Performance of an annular sieve-plate column photoreactor using immobilized TiO₂ on stainless steel support for phenol degradation." *Chemical Engineering Journal*, 223, 268-276.
25. Habibi, M. H., and Mikhak, M. (2012). "Titania/zinc oxide nanocomposite coatings on glass or quartz substrate for photocatalytic degradation of direct blue 71." *Applied Surface Science*, 258(18), 6745-6752.
26. Li, W., Wu, D., Yu, Y., Zhang, P., Yuan, J., Cao, Y., and Xu, J. (2014). "Investigation on a novel ZnO/TiO₂-B photocatalyst with enhanced visible photocatalytic activity." *Physica E*, 58, 118-123.
27. Fujishima, A., Zhang, X., and Tryk, D. A. (2008). "TiO₂ photocatalysis and related surface phenomena." *Surface Science Reports*, 63(12), 515-582.
28. Li, G., Qu, J., Zhang, X., and Ge, J. (2006). "Electrochemically assisted photocatalytic degradation of Acid Orange 7 with β -PbO₂ electrodes modified by TiO₂." *Water Research*, 40(2), 213-220.
29. Segura, S. G., Dosta, S., Guilemany, J. M., and Brillas, E. (2012). "Solar photoelectrocatalytic degradation of Acid Orange 7 azo dye using a highly stable TiO₂ photoanode synthesized by atmospheric plasma spray." *Applied Catalysis B: Environmental*, 132, 142-150.
30. Daghbir, R., Drogui, P., and El Khakani, M. A. (2013). "Photoelectrocatalytic oxidation of chlortetracycline using Ti/TiO₂ photo-anode with simultaneous H₂O₂ production." *Electrochimica Acta*, 87, 18-31.
31. Zhao, B. X., Li, X. Z., and Wang, P. (2007). "Degradation of 2, 4-dichlorophenol with a novel TiO₂/Ti-Fe-graphite felt photoelectrocatalytic oxidation process." *Journal of Environmental Sciences (China)*, 19(8), 1020-1024.
32. Lin W. C., Chen, C. H., Tang H. Y., Hsiao, Y. C., Pan, J. R., Hu C. C., and Huang C. (2013). "Electrochemical photocatalytic degradation of dye solution with a TiO₂-coated stainless steel electrode prepared by electrophoretic deposition." *Applied Catalysis B: Environmental*, 140, 32-41.
33. Liao, W., Zhang, Y., Zhang, M., Murugananthan, M., and Yoshihara, S. (2013). "Effective photoelectrocatalysis degradation of microcystin-LR on Ag/AgCl/TiO₂ nanotube array electrode under visible light irradiation." *Chemical Engineering Journal*, 231, 455-463.
34. Zhang, W., An, T., Cui, M., Sheng, G., and Fu, J. (2005). "Effects of anions on the photocatalytic and photoelectrocatalytic degradation of reactive dye in a packed-bed reactor." *Journal of Chemical Technology and Biotechnology*, 80(2), 223-229.
35. Li, X. Z., Li, F. B., Fan, C. M., and Sun, Y. P. (2002). "Photoelectrocatalytic degradation of humic acid in aqueous solution using a Ti/TiO₂ mesh photoelectrode." *Water Research*, 36(9), 2215-2224.
36. Quan, X., Ruan, X., Zhao, H., Chen, S., and Zhao, Y. (2007). "Photoelectrocatalytic degradation of pentachlorophenol in aqueous solution using a TiO₂ nanotube film electrode." *Environmental Pollution*, 147(2), 409-414.
37. Stylidi, M., Kondarides, D. I., and Verykios, X. E. (2003). "Pathways of solar-light induced photocatalytic degradation of azo dyes in aqueous TiO₂ suspension." *Applied Catalysis B Environmental*, 40, 271-286.